



西南交通大学
Southwest Jiaotong University

自动控制原理

第二章

控制系统的数学模型

任课教师： 马磊

电气工程学院

2020



本章内容

2.1 引言

2.2 输入/输出模型 – 微分方程

2.3 状态空间方程

2.4 输入/输出模型 – 拉普拉斯变换与传递函数

2.5 系统框图模型

2.6 模型转换



2.1 引言

■ 数学模型

- 描述系统的一个数学结构
- 系统(动态)特性的数学表达式

■ 控制系统建模

- 建立原系统物理模型的数学模型



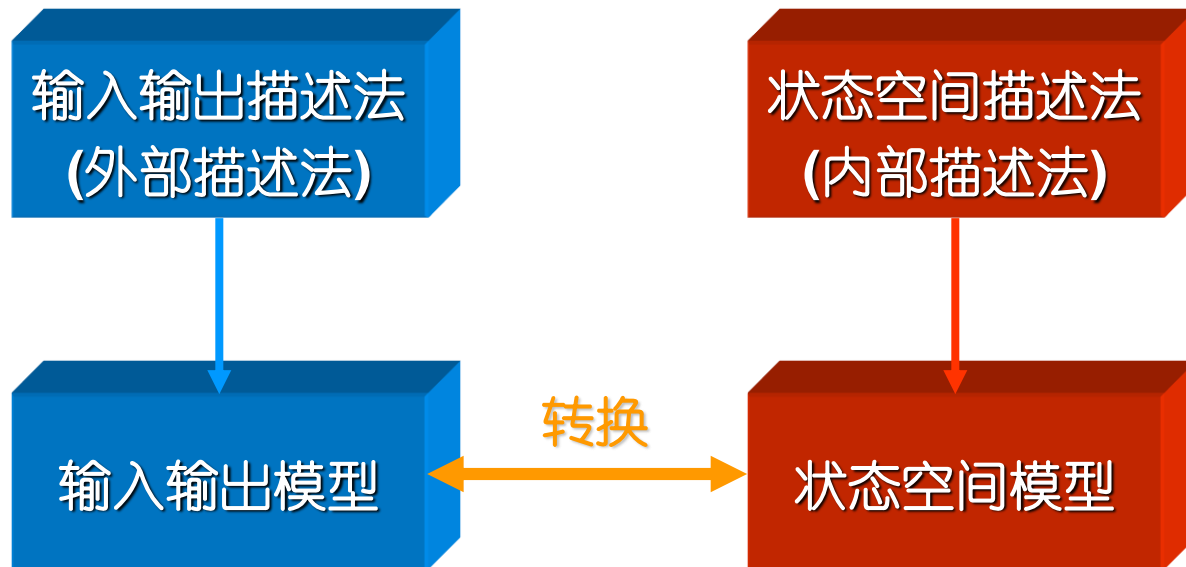
2.1 引言

- 性质不同的系统用不同的数学工具描述其模型
 - 线性定常系统： 常系数线性常微分方程
 - 线性时变系统： 变系数线性常微分方程
 - 非线性系统： 非线性常微分方程
 - 分布参数系统： 偏微分方程
 - 离散系统： 差分方程



2.1 引言

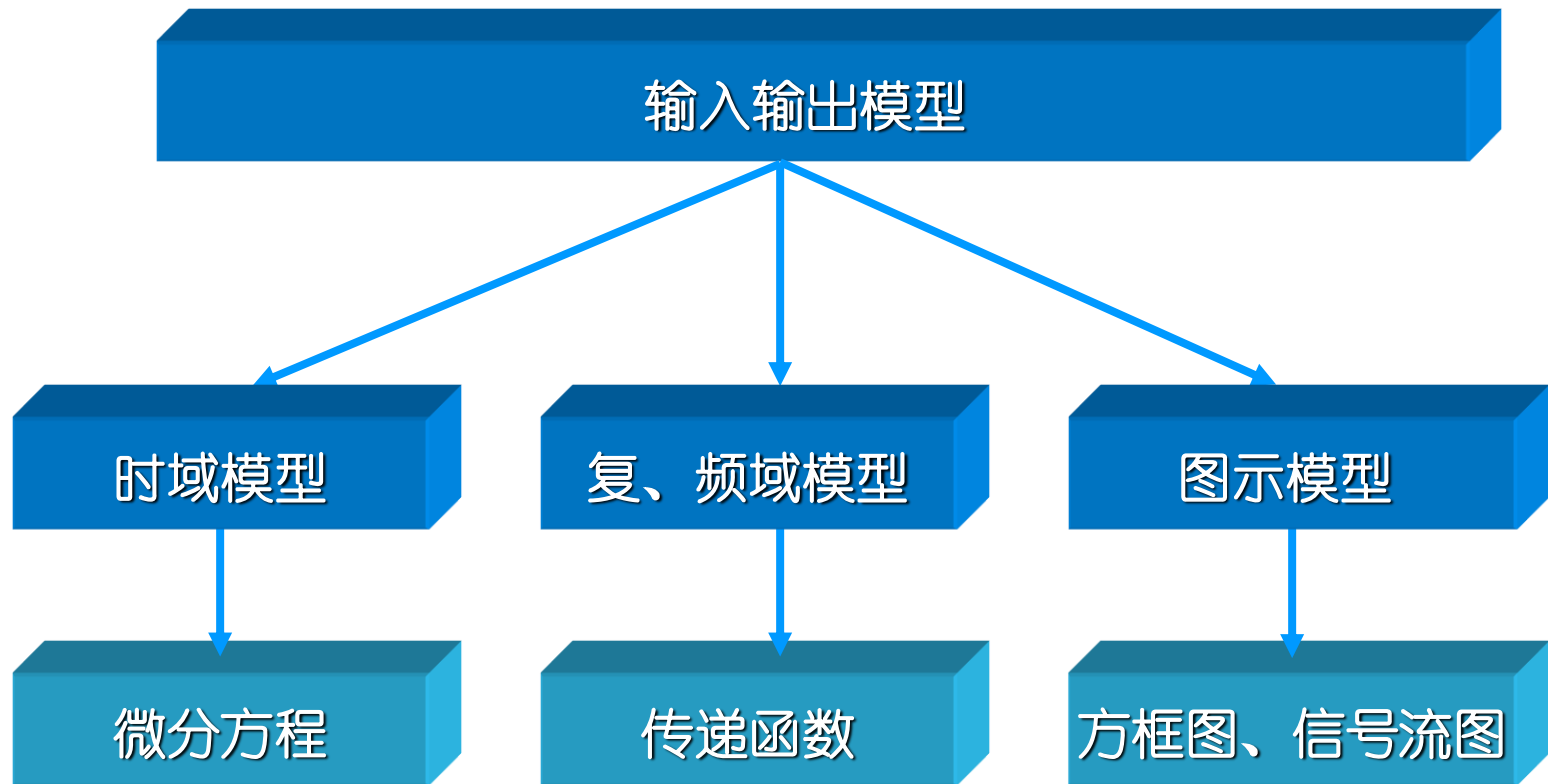
线性控制系统描述方法



线性控制系统数学模型

2.1 引言

线性控制系统输入输出数学模型





2.1 引言

- 建立控制系统数学模型的方法
 - 分析法
 - 实验法

- 数学模型的合理性
 - 在模型的简化性和分析结果的准确性间作折衷考虑

- 线性系统的特点
 - 叠加性
 - 齐次性



2.2 输入输出模型-微分方程

- **输入/输出(I/O)模型**：用系统的输入、输出信号或其变换式所表示的数学模型
 - 时域信号 $r(t)$, $y(t)$ —— 微分方程 (2.2)
 - 复数域信号 $R(s)$, $Y(s)$ —— 传递函数 (2.3)
 - 频域信号 $R(j\omega)$, $Y(j\omega)$ —— 频率特性 (2.3)





微分方程 – 时域I/O模型

■ 描写线性定常系统的微分方程

$$\begin{aligned} & a_n \frac{d^n y(t)}{dt^n} + a_{n-1} \frac{d^{n-1} y(t)}{dt^{n-1}} + \cdots + a_1 \frac{dy(t)}{dt} + a_0 y(t) \\ &= b_m \frac{d^m r(t)}{dt^m} + b_{m-1} \frac{d^{m-1} r(t)}{dt^{m-1}} + \cdots + b_1 \frac{dr(t)}{dt} + b_0 r(t) \end{aligned} \quad (2.1)$$

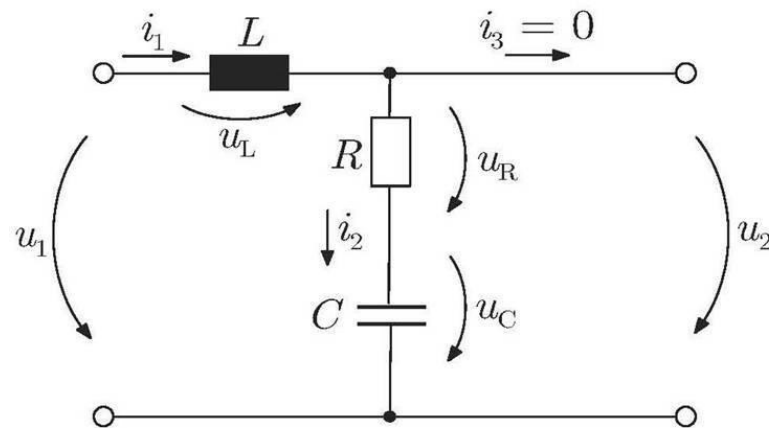
$a_i (i = 0, 1, \dots, n)$ 、 $b_j (j = 0, 1, \dots, m)$ 均为实数

■ 建立微分方程的一般步骤

- 确定输入 $r(t)$ 和输出 $y(t)$
- 列写各环节的微分方程
- 消去中间变量，求得输入/输出关系

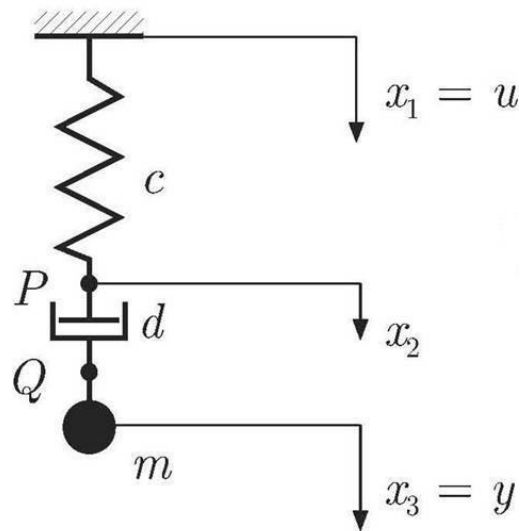
微分方程 例 1

■ 串联振荡电路



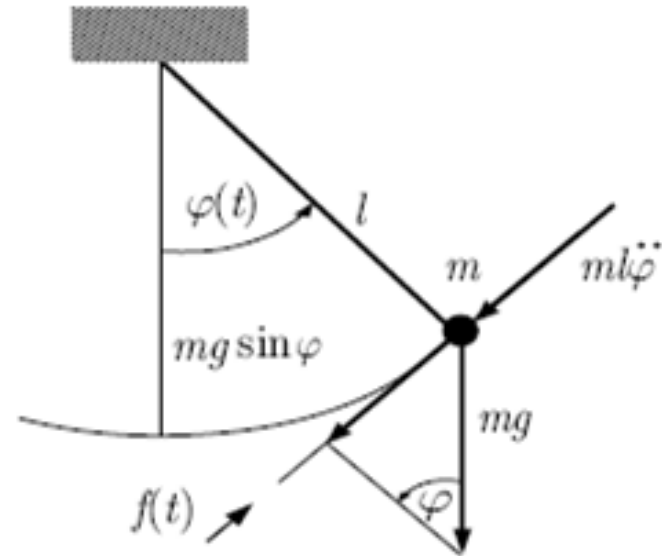
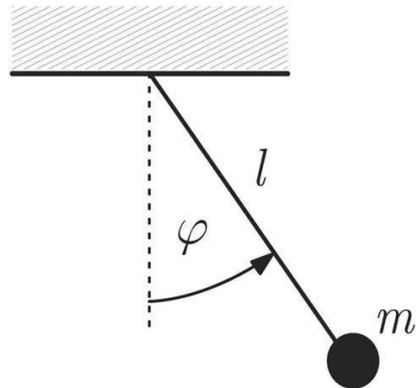
微分方程 例 2

■ 机械振荡系统



微分方程 例 3

■ 单摆的非线性微分方程





非线性微分方程的线性化

- 设激励 $x(t)$ 与响应 $y(t)$ 之间为非线性关系

$$y(t) = g(x(t)) \quad (2.2)$$

可在工作点 x_0 处展开成泰勒级数

$$y = g(x) = g(x_0) + \left. \frac{dg}{dx} \right|_{x=x_0} \frac{(x-x_0)}{1!} + \left. \frac{d^2g}{dx^2} \right|_{x=x_0} \frac{(x-x_0)^2}{2!} + \dots \quad (2.3)$$



非线性微分方程的线性化

取一次项可得到

$$\Delta y = K \Delta x, \quad (2.4)$$

其中

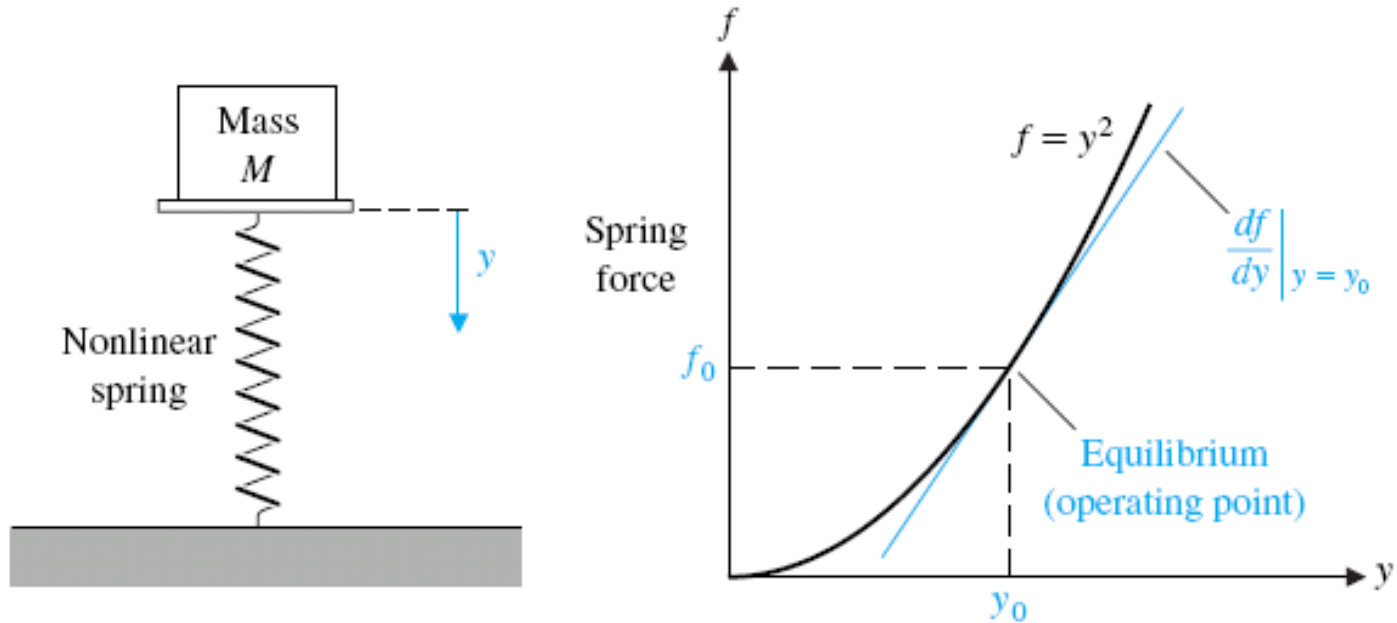
$$\Delta y = y - y_0 = y - g(x_0)$$

$$\Delta x = x - x_0$$

$$K = \left. \frac{dg}{dx} \right|_{x=x_0}$$

这种线性化是针对的“非本质”非线性数学模型，在工作点附近的小信号分析。

非线性微分方程的线性化



非线性弹簧的弹力与位移的关系为

$$\Delta f = m \Delta y$$



微分方程的解

- 一阶微分方程的解
- 二阶微分方程的解
- 高阶微分方程的解 — 困难！



2.3 状态空间模型（方程）

- 高阶微分方程的解 – 困难！
 - 状态空间方程 – 一阶线性微分方程组
 - 求解容易
 - 用向量和矩阵形式表达
 - 适合用计算机求解
- 二战后，由航空航天技术应用推动，随着计算机技术的飞速发展而被广泛接受



状态空间基本概念

- **状态**: 动态系统的状态是系统的最小一组变量（称为状态变量），只要知道了在时刻 $t = t_0$ 的一组变量和时刻 $t > t_0$ 的输入量，就能够完全确定系统在任何时间时刻的行为
- **状态变量**: 动态系统的状态变量是确定动态系统状态的最小一组变量
- **状态向量**: 如果完全描述一个给定的系统的行为需要 n 个状态变量，那么这 n 个状态变量可以看成是向量 x 的 n 个分量，这个向量就称为状态向量
- **状态空间**: 系统的全部可能状态的集合



线性定常系统的状态空间表达式

$$\begin{aligned}\dot{\mathbf{x}}(t) &= \mathbf{A}\mathbf{x}(t) + \mathbf{B}\mathbf{u}(t) \\ \mathbf{y}(t) &= \mathbf{C}\mathbf{x}(t) + \mathbf{D}\mathbf{u}(t)\end{aligned}\tag{2.5}$$

$t \geq 0, x_0 = x(0)$ (初始条件)

$\mathbf{x} \in R^n$ 状态向量, $\mathbf{u} \in R^m$ 输入向量, $\mathbf{y} \in R^q$ 输出向量

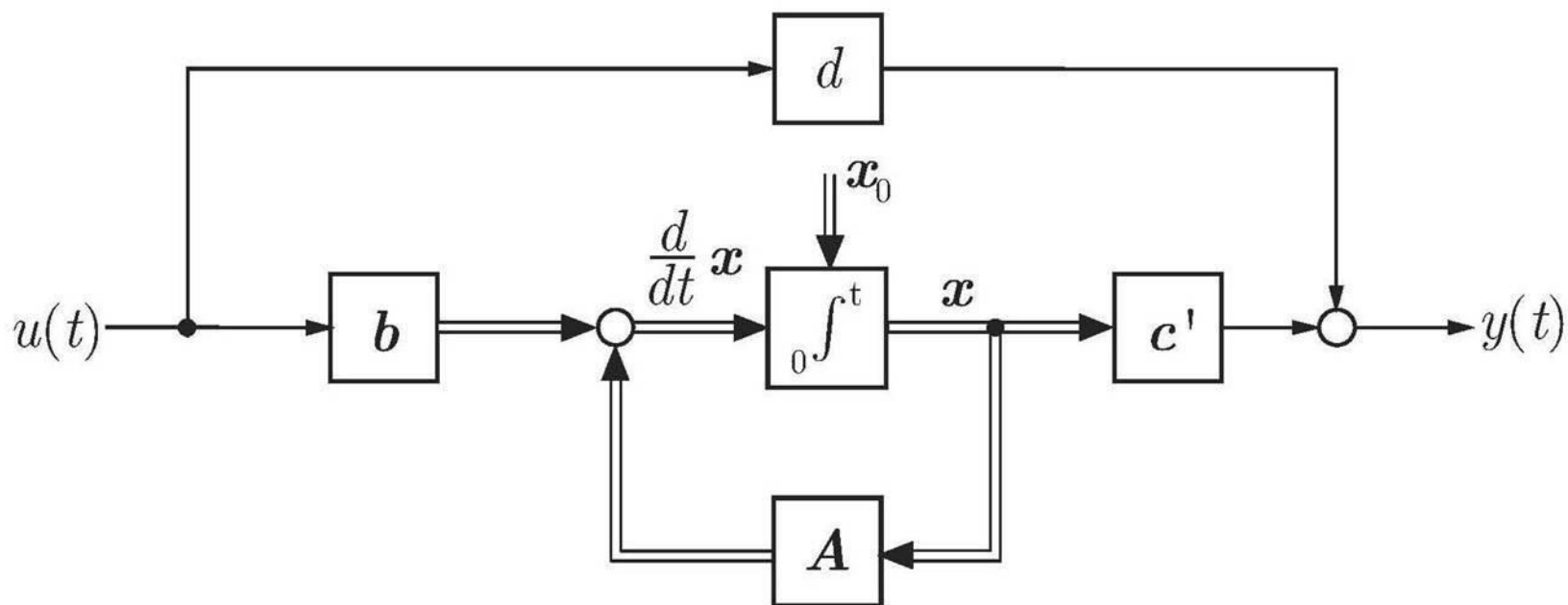
$\mathbf{A} \in R^{n \times n}$, 状态矩阵

$\mathbf{B} \in R^{n \times m}$, 控制矩阵(输入矩阵)

$\mathbf{C} \in R^{q \times n}$, 输出矩阵

$\mathbf{D} \in R^{q \times m}$, 前馈矩阵

图示





备注

■ 选择状态变量必须要满足

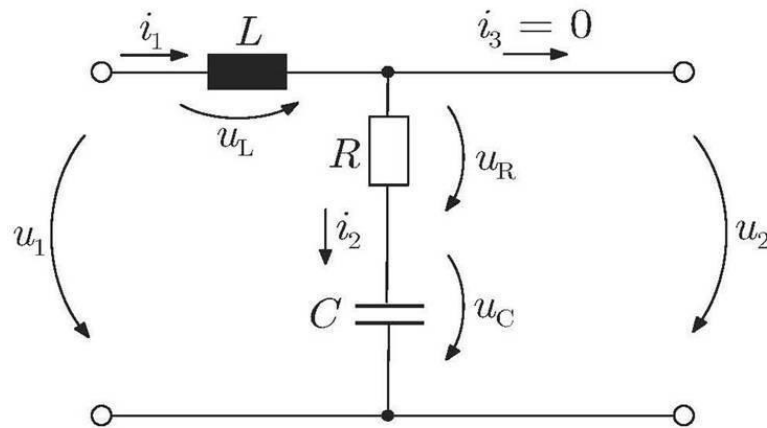
- 选择最小的状态变量为状态向量的元素。这些最少的状态变量可以充分地完全描述系统的状态
- 状态向量的元素必须是线性无关的

■ 通过对状态微分方程的分析可以发现

- 状态空间表达式是系统的一种完全描述，其核心是状态方程
- 系统的状态空间表达式不是唯一的

状态空间方程 例

■ 串联振荡电路



求取状态空间方程

- 由系统物理特性直接求取
- 由微分方程求取：若 $m=0$ ，即

$$\frac{d^n y(t)}{dt^n} + a_{n-1} \frac{d^{n-1} y(t)}{dt^{n-1}} + \cdots + a_1 \frac{dy(t)}{dt} + a_0 y(t) = u(t) \quad (2.6)$$

令

有

$$\left\{ \begin{array}{l} x_1 = y(t) \\ x_2 = \frac{dy(t)}{dt} \\ x_3 = \frac{d^2 y(t)}{dt^2} \\ \vdots \\ x_n = \frac{d^{n-1} y(t)}{dt^{n-1}} \end{array} \right. \quad \left\{ \begin{array}{l} \dot{x}_1 = \frac{dy(t)}{dt} = x_2 \\ \dot{x}_2 = \frac{d^2 y(t)}{dt^2} = x_3 \\ \vdots \\ \dot{x}_{n-1} = \frac{d^{n-1} y(t)}{dt^{n-1}} = x_n \\ \dot{x}_n = \frac{d^n y(t)}{dt^n} = -a_0 x_1 - a_1 x_2 - \cdots - a_{n-1} x_n + u(t) \end{array} \right.$$

求取状态空间方程

可得

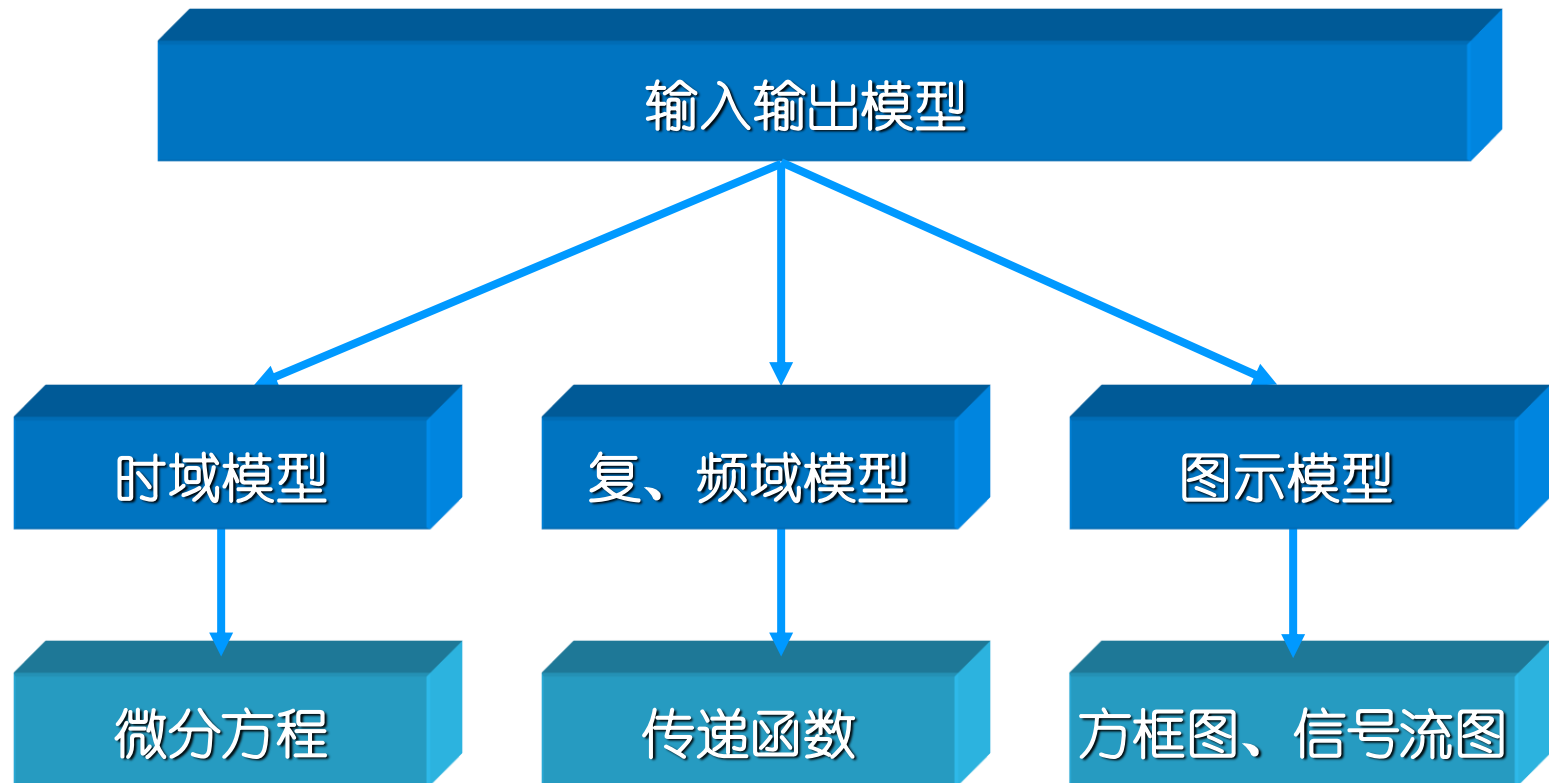
$$\begin{cases} \begin{bmatrix} \dot{x}_1 \\ \dot{x}_2 \\ \vdots \\ \dot{x}_{n-1} \\ \dot{x}_n \end{bmatrix} = \begin{bmatrix} 0 & 1 & 0 & \cdots & 0 \\ 0 & 0 & 1 & \cdots & 0 \\ \vdots & \vdots & \vdots & \cdots & \vdots \\ 0 & 0 & 0 & \cdots & 1 \\ -a_0 & -a_1 & -a_2 & \cdots & -a_{n-1} \end{bmatrix} \begin{bmatrix} x_1 \\ x_2 \\ \vdots \\ x_{n-1} \\ x_n \end{bmatrix} + \begin{bmatrix} 0 \\ 0 \\ \vdots \\ 0 \\ 1 \end{bmatrix} u \end{cases} \quad (2.7)$$

$$\begin{cases} y = [1 \quad 0 \quad \cdots \quad 0] \begin{bmatrix} x_1 \\ x_2 \\ \vdots \\ x_n \end{bmatrix} \end{cases} \quad (2.8)$$

若 m 不为 0，则根据不同状态变量选取，
系统的状态空间表达不唯一（2.6 节）

2.4 输入/输出模型 – 传递函数

线性控制系统输入输出数学模型



信号频率与系统响应

- 下列线性定常系统对不同频率信号产生不同衰减 – 有必要研究系统响应与信号频率的关系！

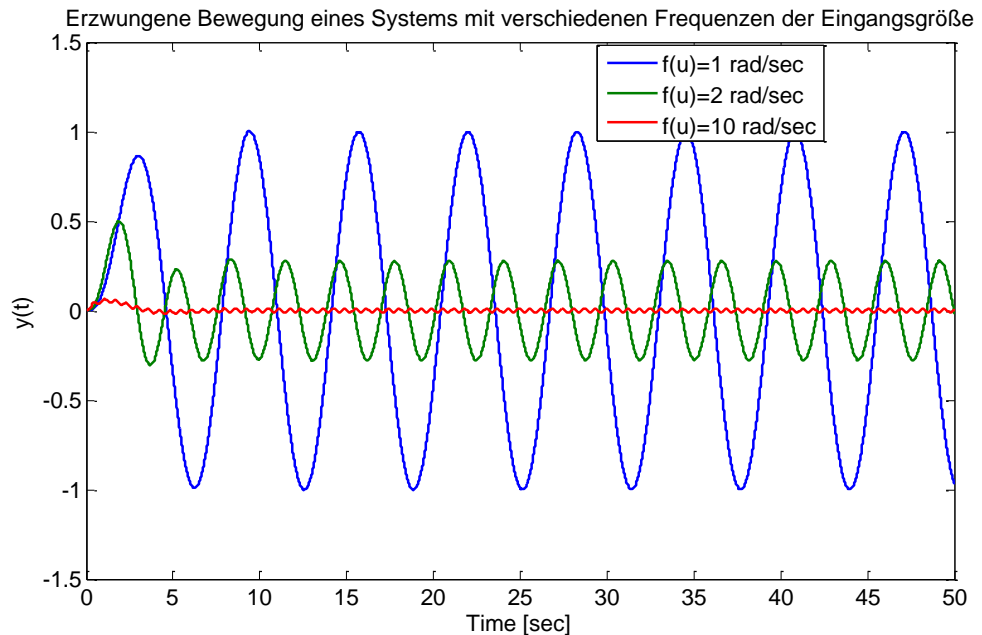
System:

$$A = \begin{bmatrix} 0 & 1 \\ -1 & -1 \end{bmatrix},$$

$$b = \begin{bmatrix} 0 \\ 1 \end{bmatrix},$$

$$c' = \begin{bmatrix} 1 & 0 \end{bmatrix},$$

$$d = 0$$



传递函数与微分方程

- 引入复变量 s ，将系统响应特征与信号频率联系起来，可深入分析系统性能
- 将时域中的微分方程转化为频率域中的代数方程，便于求解
- 数学工具：拉普拉斯变换

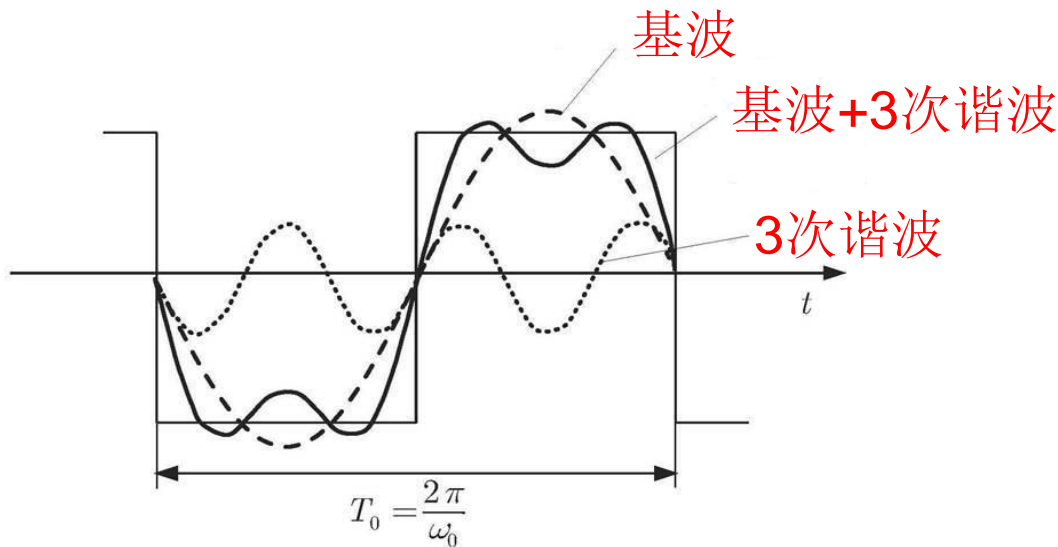


Pierre-Simon marquis de Laplace
(1749-1827)

法国数学家和天文学家

2.4.1 拉普拉斯变换

■ 信号分解 — 傅立叶变换 $F(j\omega) = \int_{-\infty}^{\infty} f(t) e^{-j\omega t} dt.$



Jean B. J. Fourier
法国数学家
(1768-1830)

存在条件 -- Dirichlet条件以及

$$\int_{T_0}^{-T_0} |f(t)| dt < \infty.$$

→ 实践中经常得不到满足！
例子： 直流信号



拉普拉斯变换的思想

引入 $\tilde{f}(t) = f(t) e^{-\delta t}, \quad \delta \geq 0$

若 δ 足够大且 $|f(t)|$ 之增强速度低于指数函数, 则下式成立

$$\int_{-\infty}^{\infty} |\tilde{f}(t)| dt = \int_{-\infty}^{\infty} |f(t)| e^{-\delta t} dt < \infty$$

令 $s = \delta + j\omega$

$$F(s) = \mathcal{L}\{f(t)\}$$

有拉普拉斯变换

$$F(s) = \int_{-\infty}^{\infty} f(t) e^{-st} dt.$$

$$F(s) \bullet \longleftrightarrow f(t).$$

可见, 拉普拉斯变换将信号分解为以指数速度衰减/增加的正弦信号之和 (积分): $e^{\delta+j\omega} = e^{\delta} e^{j\omega} = e^{\delta} \sin \omega t$

拉普拉斯反变换

$$f(t) = \frac{1}{2\pi j} \int_{\delta-j\infty}^{\delta+j\infty} F(s) e^{st} ds.$$



拉普拉斯变换的性质

■ 线性性质

$$L[f_1(t) \pm f_2(t)] = F_1(s) \pm F_2(s)$$

■ 导数性质

$$L\left[\frac{df(t)}{dt}\right] = sF(s) - f(0)$$

$$L\left[\frac{d^2 f(t)}{dt^2}\right] = s^2 F(s) - sf(0) - f'(0)$$

⋮

$$L\left[\frac{d^n f(t)}{dt^n}\right] = s^n F(s) - \sum_{k=1}^n s^{n-k} f^{(k-1)}(0)$$

■ 积分性质

$$L\left[\int f(t)dt\right] = \frac{F(s)}{s} + \frac{\left[\int f(t)dt\right]_{t=0}}{s}$$

$$L\left[\int \int f(t)(dt)^2\right] = \frac{F(s)}{s^2} + \frac{\left[\int f(t)dt\right]_{t=0}}{s^2} + \frac{\left[\int \int f(t)(dt)^2\right]_{t=0}}{s}$$

⋮

$$L\left[\overset{\text{共}n\text{个}}{\int \cdots \int f(t)(dt)^n}\right] = \frac{F(s)}{s^n} + \sum_{k=1}^n \overset{\text{共}k\text{个}}{\frac{1}{s^{n-k+1}} \left[\int \cdots \int f(t)(dt)^n\right]_{t=0}}$$



拉普拉斯变换的性质

■ 衰减定理（或称频域平移定理）

$$L[f(t)e^{-at}] = F(s+a)$$

■ 延迟性质（或称时域平移定理）

$$L[f(t-T)1(t-T)] = e^{-Ts} F(s)$$

■ 终值定理

$$\lim_{t \rightarrow \infty} f(t) = \lim_{s \rightarrow 0} sF(s)$$

■ 初值定理

$$\lim_{t \rightarrow 0} f(t) = \lim_{s \rightarrow \infty} sF(s)$$

■ 卷积性质

$$L\left[\int_0^t f_1(t-\tau)f_2(\tau)d\tau\right] = L\left[\int_0^t f_1(\tau)f_2(t-\tau)d\tau\right] = F_1(s)F_2(s)$$

常用函数的拉普拉斯变换

常用函数的拉氏变换表

序号	拉氏变换 $E(s)$	时间函数 $e(t)$	9	$\frac{a}{s(s+a)}$	$1 - e^{-at}$
1	1	$\delta(t)$	10	$\frac{b-a}{(s+a)(s+b)}$	$e^{-at} - e^{-bt}$
2	$\frac{1}{1-e^{-Ts}}$	$\delta_T(t) = \sum_{n=0}^{\infty} \delta(t-nT)$	11	$\frac{\omega}{s^2 + \omega^2}$	$\sin \omega t$
3	$\frac{1}{s}$	$1(t)$	12	$\frac{s}{s^2 + \omega^2}$	$\cos \omega t$
4	$\frac{1}{s^2}$	t	13	$\frac{\omega}{(s+a)^2 + \omega^2}$	$e^{-at} \sin \omega t$
5	$\frac{1}{s^3}$	$\frac{t^2}{2}$	14	$\frac{s+a}{(s+a)^2 + \omega^2}$	$e^{-at} \cos \omega t$
6	$\frac{1}{s^{n+1}}$	$\frac{t^n}{n!}$	15	$\frac{1}{s - (1/T) \ln a}$	$a^{t/T}$
7	$\frac{1}{s+a}$	e^{-at}			
8	$\frac{1}{(s+a)^2}$	te^{-at}			



2.4.1 传递函数

■ 线性定常系统的传递函数

微分方程模型:

$$\begin{aligned} & a_n \frac{d^n y(t)}{dt^n} + a_{n-1} \frac{d^{n-1} y(t)}{dt^{n-1}} + \cdots + a_1 \frac{dy(t)}{dt} + a_0 y(t) \\ &= b_m \frac{d^m r(t)}{dt^m} + b_{m-1} \frac{d^{m-1} r(t)}{dt^{m-1}} + \cdots + b_1 \frac{dr(t)}{dt} + b_0 r(t) \end{aligned} \quad (2.1)$$

$a_i (i = 0, 1, \dots, n)$ 、 $b_j (j = 0, 1, \dots, m)$ 均为实数

取Laplace变换(零初始条件), 可得

$$\begin{aligned} & (a_n s^n + a_{n-1} s^{n-1} + \cdots + a_1 s + a_0) Y(s) \\ &= (b_m s^m + b_{m-1} s^{m-1} + \cdots + b_1 s + b_0) R(s) \end{aligned} \quad (2.5)$$

其中 $Y(s) = \mathcal{L}[y(t)]$, $R(s) = \mathcal{L}[r(t)]$

传递函数

$$G(s) \stackrel{\text{def}}{=} \left. \frac{Y(s)}{R(s)} \right|_{\text{零初始条件}} = \frac{b_m s^m + b_{m-1} s^{m-1} + \cdots + b_1 s + b_0}{a_n s^n + a_{n-1} s^{n-1} + \cdots + a_1 s + a_0} \quad (2.6)$$



- 传递函数反映系统“零状态”响应的传递关系；表明了系统数学模型的阶次 n ，它表征着系统的固有特性，与输入 $r(t)$ 的形式无关；
- 传递函数是研究线性系统动态特性的重要工具。利用Laplace变换给出的传递函数 $G(s)$ 是最常见的形式；



传递函数

- 传递函数 $G(s)$ 也常用以下形式表示:

$$G(s) = \frac{b_0}{a_0} \frac{d_m s^m + d_{m-1} s^{m-1} + \cdots + d_1 s + 1}{c_n s^n + c_{n-1} s^{n-1} + \cdots + c_1 s + 1} = K \frac{\prod_{i=1}^m (T_i s + 1)}{\prod_{j=1}^n (\tau_j s + 1)} \quad (2.7)$$

其中, K —系统增益或传递系数

$$G(s) = \frac{b_m}{a_n} \frac{s^m + h_{m-1} s^{m-1} + \cdots + h_1 s + h_0}{s^n + l_{n-1} s^{n-1} + \cdots + l_1 s + l_0} = K_g \frac{\prod_{i=1}^m (s + z_i)}{\prod_{j=1}^n (s + p_j)} \quad (2.8)$$

其中, $-z_i$ —系统零点 $-p_j$ —系统极点



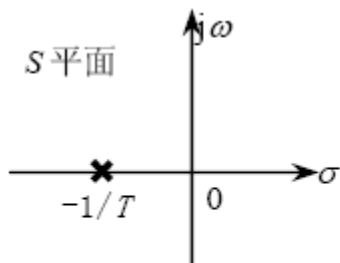
2.4.2 典型环节的传递函数

- 惯性环节
- 积分环节
- 振荡环节
- 微分环节
- 比例环节
- 时滞环节

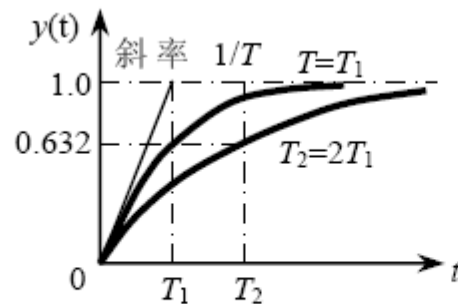
惯性环节

$$G(s) = \frac{1}{Ts + 1} \quad (2.10)$$

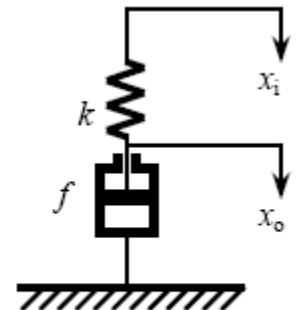
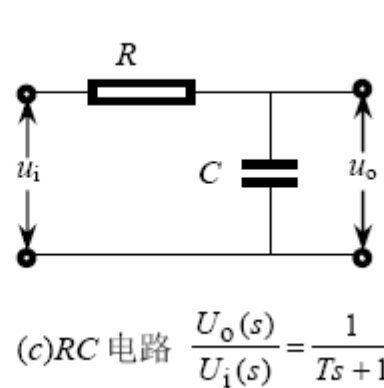
其中, T —惯性环节时间常数



(a) 零极点分布



(b) 单位阶跃响应曲线

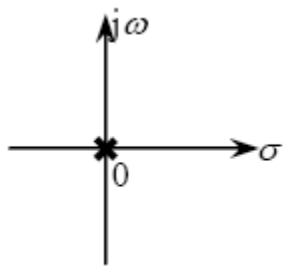


(d) 弹簧-阻尼器系统

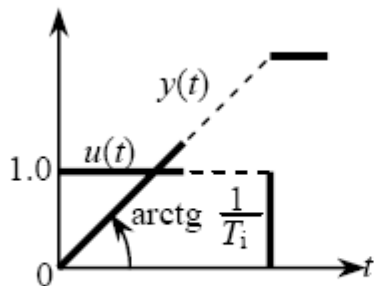
积分环节

$$T_i \frac{dy(t)}{dt} = r(t) \quad (2.11)$$

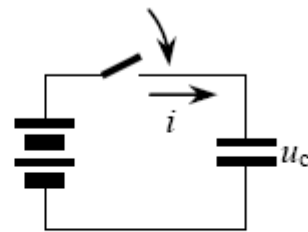
其中, T_i —积分时间常数



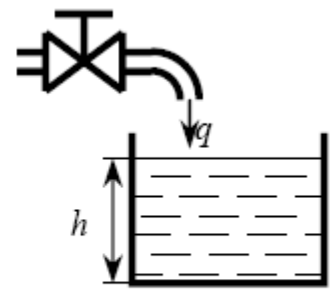
(a) 零极点分布



(b) 单位阶跃响应曲线



(c) 电容器充电 $\frac{U_c(s)}{I(s)} = \frac{1}{Cs}$



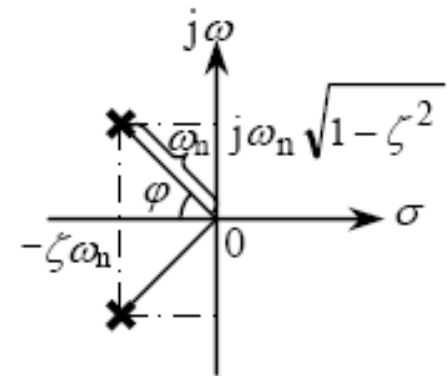
(d) 水箱 $\frac{H(s)}{Q(s)} = \frac{1}{Cs}$

振荡环节

$$T^2 \frac{d^2 y(t)}{dt^2} + T\zeta \frac{dy(t)}{dt} + y(t) = r(t), 0 < \zeta < 1 \quad (2.13)$$

该二阶系统具有一对共轭复数极点

$$-p_{1,2} = -\zeta\omega_n \pm j\omega_n\sqrt{1-\zeta^2}$$



(a) 零极点分布

$$\begin{aligned} G(s) &= \frac{\omega_n^2}{s^2 + 2\zeta\omega_n s + \omega_n^2} \\ &= \frac{\omega_n^2}{(s + p_1)(s + p_2)}, \omega_n = \frac{1}{T} \end{aligned} \quad (2.14)$$

振荡环节

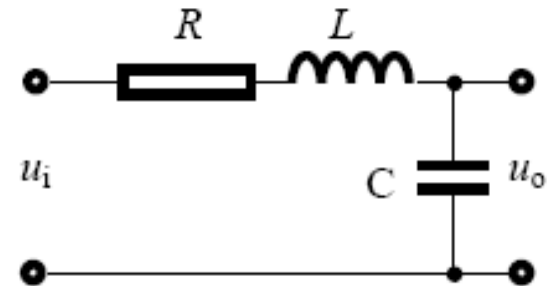
$$G(s) = \frac{1}{Ts^2 + 2\zeta Ts + 1}, \quad (2.15)$$

其中:

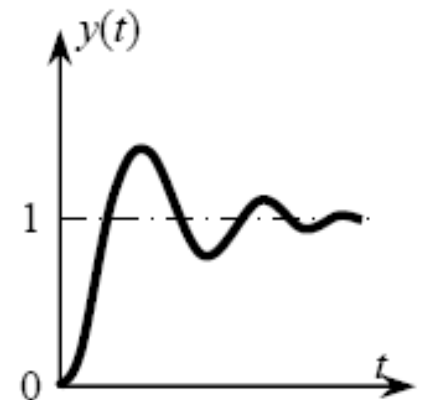
$T = \frac{1}{\omega_n}$ 为时间常数

ζ 为阻尼比

ω_n 为无阻尼自然振荡角频率



(c) RLC 串联电路



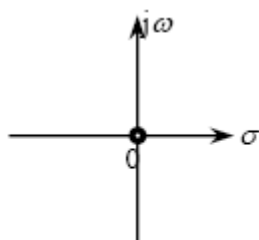
(b) 单位阶跃响应曲线

微分环节

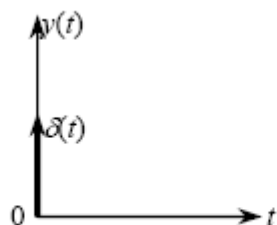
$$y(t) = T_d \frac{dr(t)}{dt} \quad (2.16)$$

$$G(s) = T_d s \quad (2.17)$$

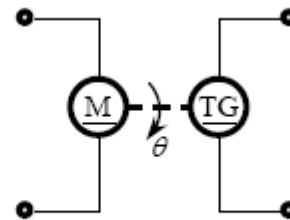
理想微分环节的传递函数不是真有理分式，工程实现较为困难，工程上常采用具有惯性环节的微分环节



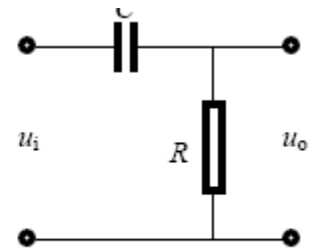
(a) 零极点分布



(b) 单位阶跃响应曲线



(c) 安装在电动机轴上的测速发电机



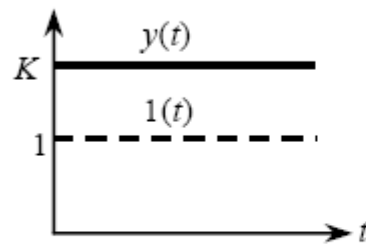
(d) RC 电路

比例环节

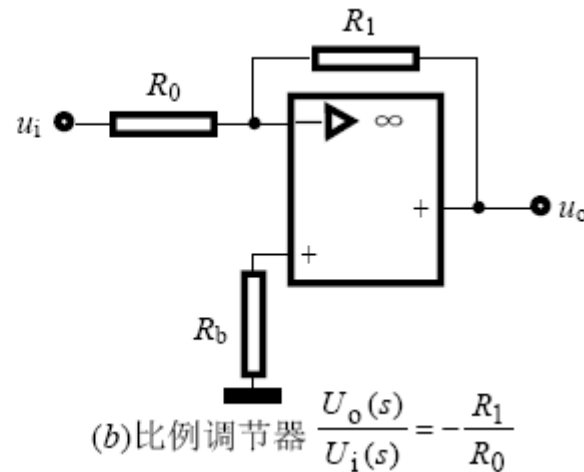
$$G(s) = K_p \quad (2.18)$$

$$y(t) = K_p r(t) \quad (2.19)$$

其中, K_p —比例系数增益



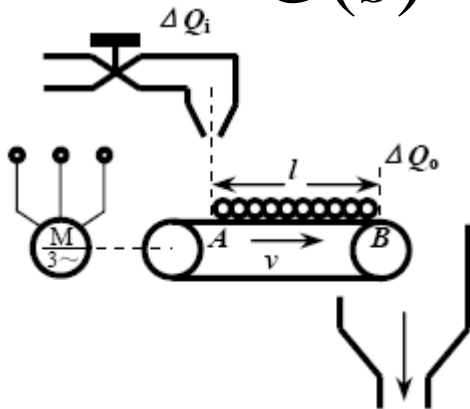
(a) 单位阶跃响应曲线



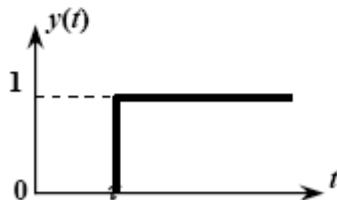
时滞环节

$$y(t) = r(t - \tau)1(t - \tau) \quad (2.20)$$

$$G(s) = e^{-\tau s} \quad (2.21)$$



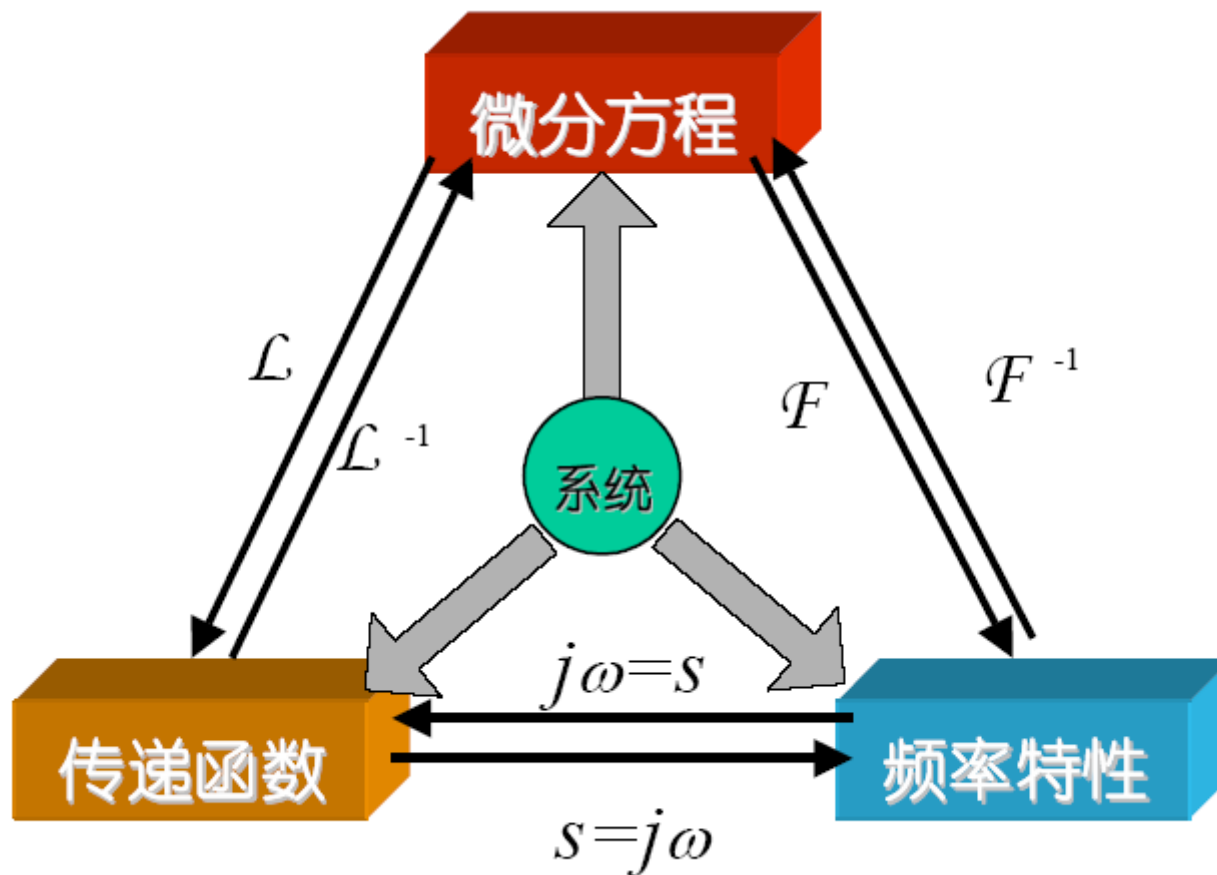
(a) 带式运输机系统



(b) 单位阶跃响应曲线

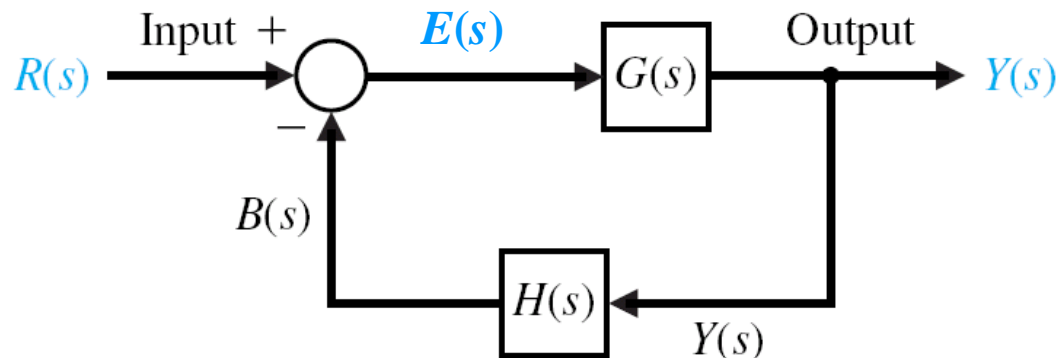
实际控制系统的传递函数均可视为上述典型环节的某种组合,因此熟悉和掌握典型环节对于分析研究系统是很基本的,也是很重要的

三种I/O模型之间的关系



2.5 框图模型

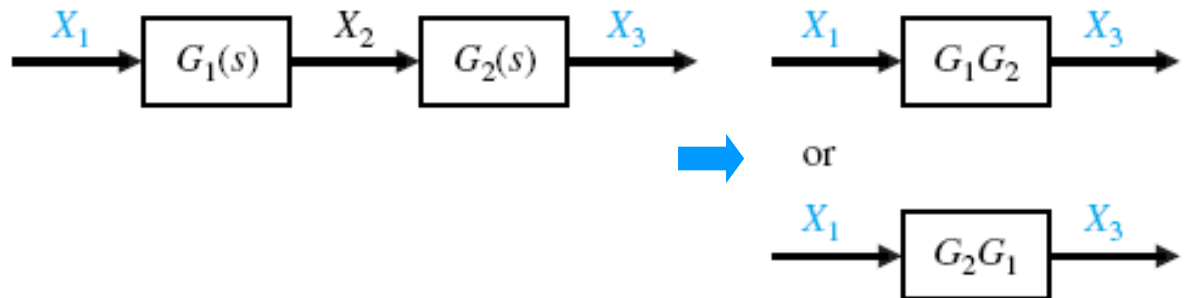
- 系统结构图：就是系统的函数方框图，是系统中各环节的传函功能和信号流向的图解表示，是一种图形化的数学模型。
- 每个环节用方框图表示，框中表明其传函，根据信号的传递关系将各环节框图连接起来，即得到系统结构图，如



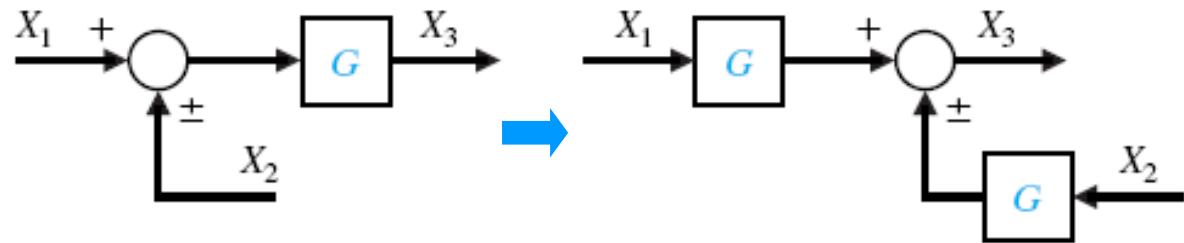
框图的基本变换

■ 原则：输出、输入信号不变(端口条件不变)

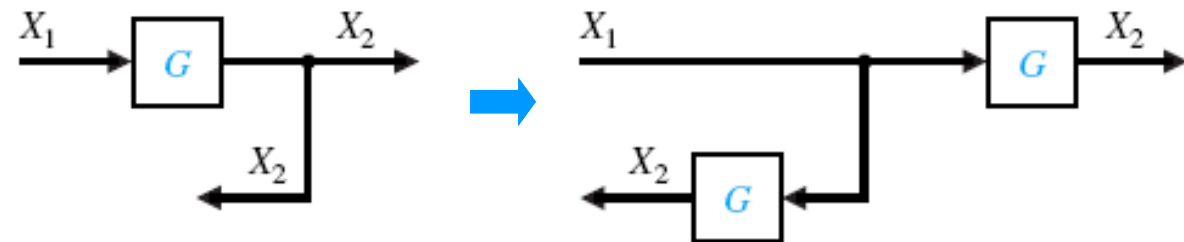
■ 合并串联方框



■ 相加点后移

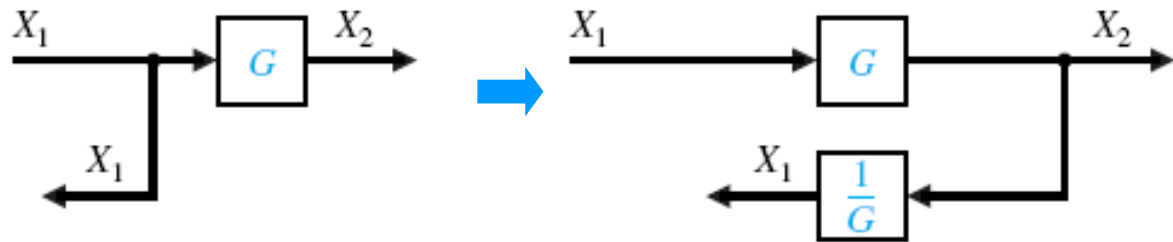


■ 分支点前移

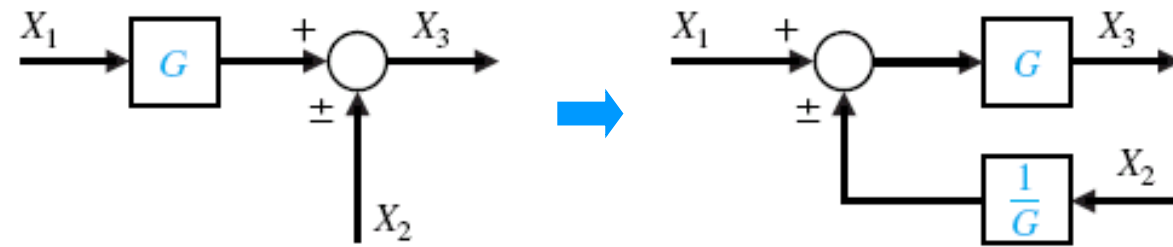


框图的基本变换

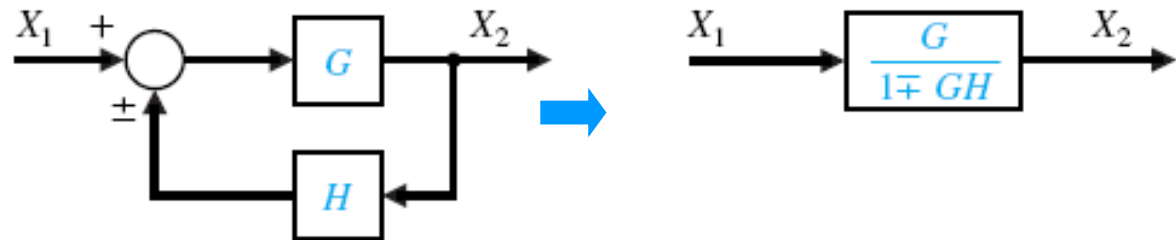
■ 分支点后移



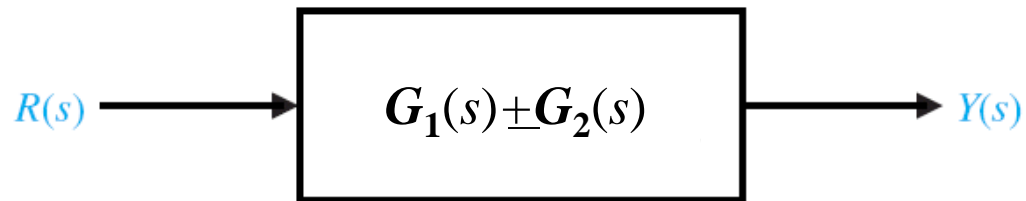
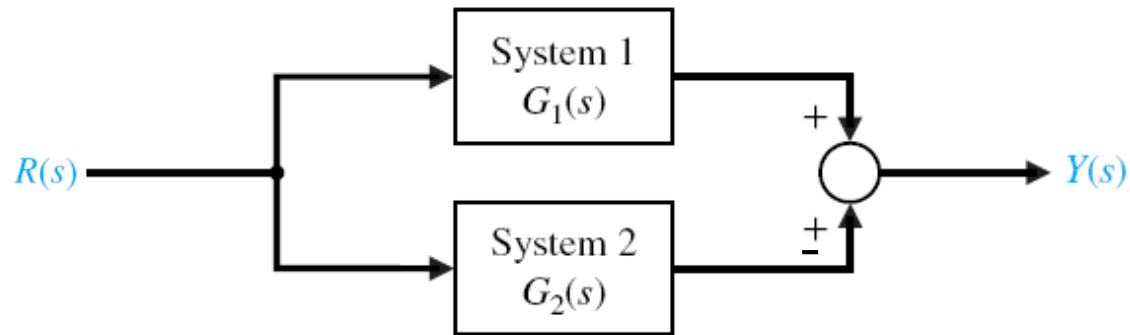
■ 相加点前移



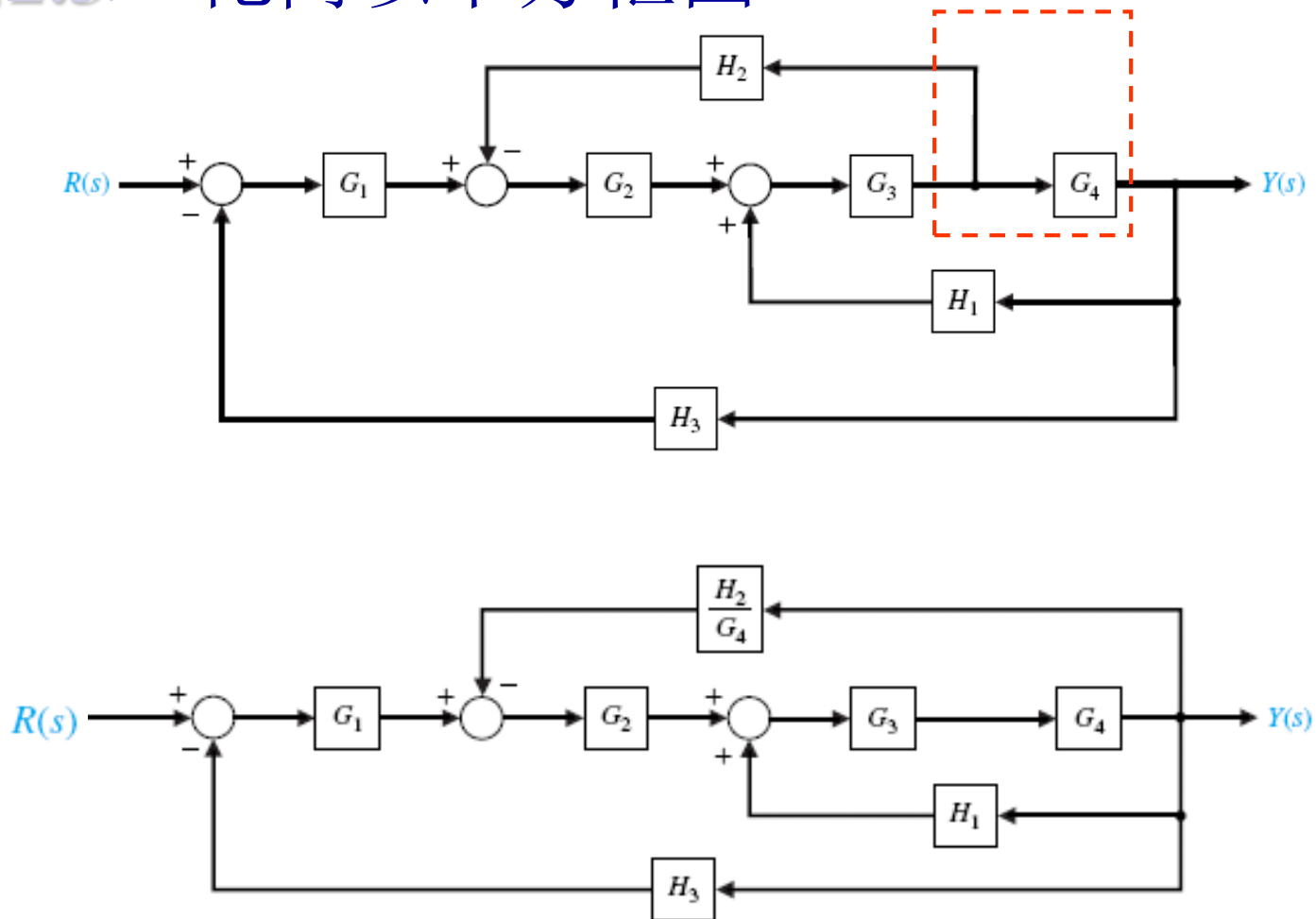
■ 消去反馈回路

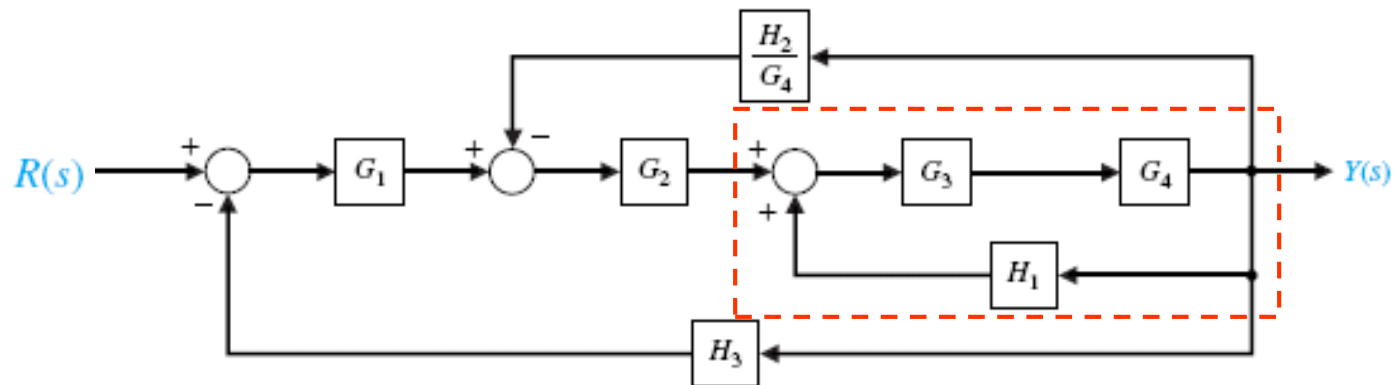
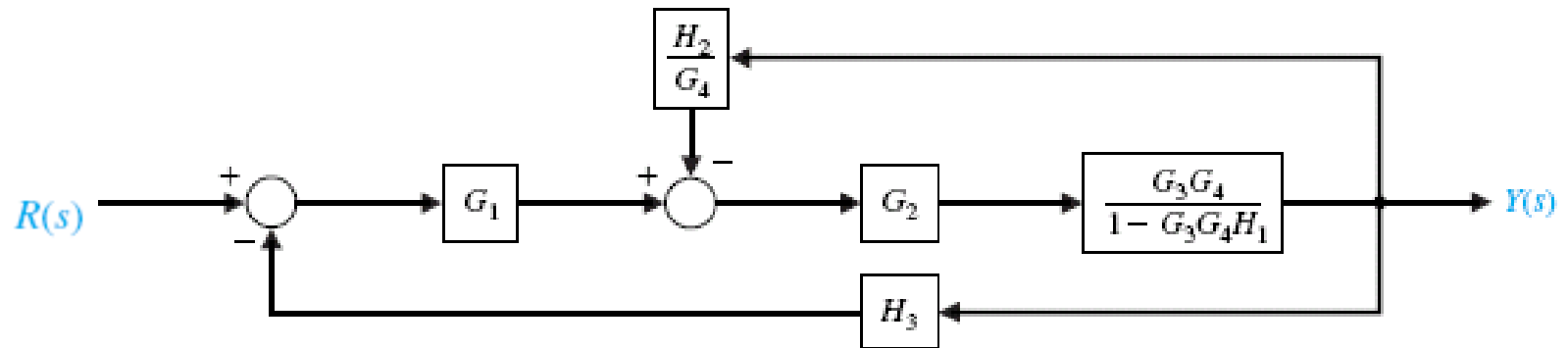


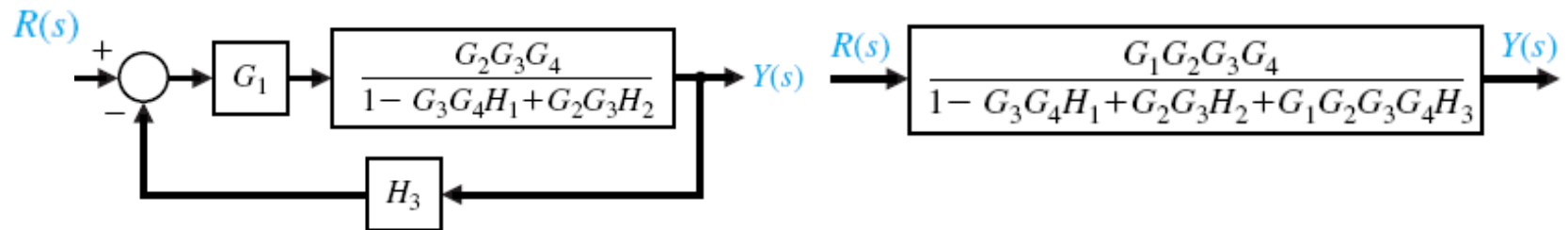
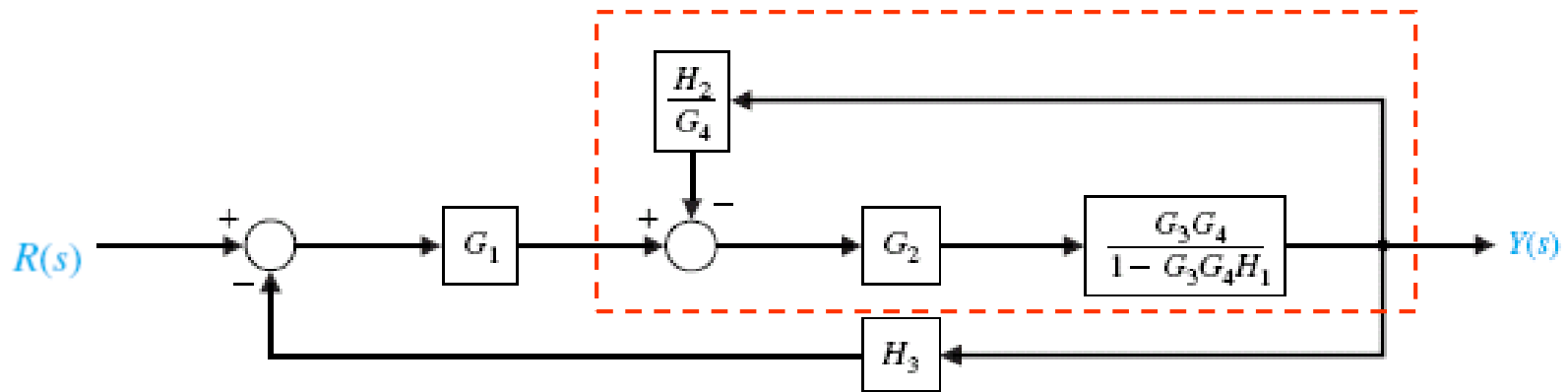
<例2.2> 化简并联方框图



<例2.3> 化简下方框图

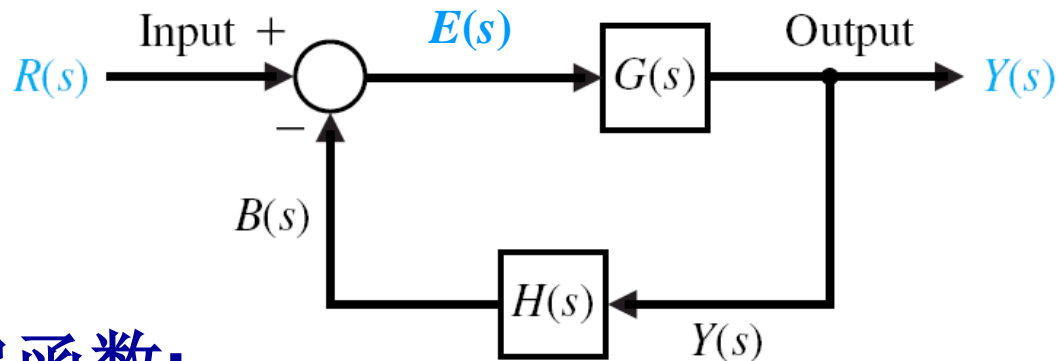






反馈控制系统的传递函数

负反馈控制系统的典型结构图



等效传递函数:

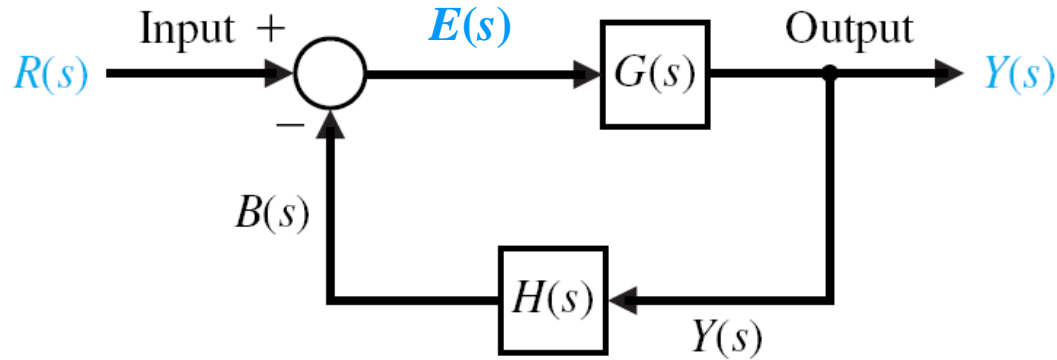
$$B(s) = H(s)Y(s)$$

$$E(s) = R(s) - B(s) = R(s) - H(s)Y(s)$$

$$Y(s) = G(s)E(s) = G(s)[R(s) - H(s)Y(s)]$$

$$[1 + G(s)H(s)]Y(s) = G(s)R(s)$$

反馈控制系统的传递函数



$$\frac{Y(s)}{R(s)} = \frac{G(s)}{1 + G(s)H(s)}$$

闭环传递函数

$$\frac{Y(s)}{E(s)} = G(s)$$

前向传递函数

$$\frac{B(s)}{E(s)} = G(s)H(s)$$

开环传递函数



2.6 模型转换

- 由状态空间模型转换为传递函数(阵)

- n 阶线性定常系统 $\dot{\mathbf{x}}(t) = \mathbf{A}\mathbf{x}(t) + \mathbf{B}\mathbf{u}(t)$
 $\mathbf{y}(t) = \mathbf{C}\mathbf{x}(t) + \mathbf{D}\mathbf{u}(t)$

- 考虑零初始条件，利用Laplace变换，有：

$$s\mathbf{X}(s) = \mathbf{A}\mathbf{X}(s) + \mathbf{B}\mathbf{U}(s) \quad (2.28)$$

$$\mathbf{Y}(s) = \mathbf{C}\mathbf{X}(s) + \mathbf{D}\mathbf{U}(s) \quad (2.29)$$

- 由2.28式可得：

$$(s\mathbf{I} - \mathbf{A})\mathbf{X}(s) = \mathbf{B}\mathbf{U}(s) \quad (2.30)$$

$$\mathbf{X}(s) = (s\mathbf{I} - \mathbf{A})^{-1} \mathbf{B}\mathbf{U}(s) \quad (2.31)$$



■ (2.31)代入到(2.29)得到:

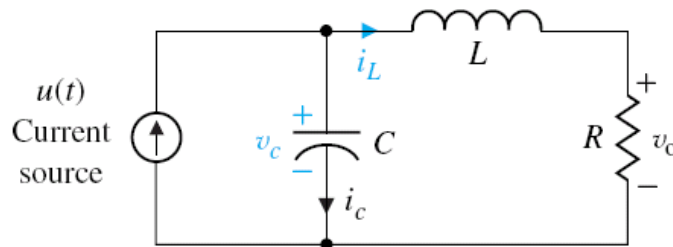
$$\begin{aligned} \mathbf{Y}(s) &= \mathbf{C}(s\mathbf{I} - \mathbf{A})^{-1} \mathbf{B} \mathbf{U}(s) + \mathbf{D} \mathbf{U}(s) \\ &= [\mathbf{C}(s\mathbf{I} - \mathbf{A})^{-1} \mathbf{B} + \mathbf{D}] \mathbf{U}(s) \end{aligned}$$

$\mathbf{C}(s\mathbf{I} - \mathbf{A})^{-1} \mathbf{B} + \mathbf{D}$ 称为传递函数矩阵

对于单输入单输出的系统, $U(s), Y(s)$ 是标量, 则传递函数为:

$$G(s) = \frac{Y(s)}{U(s)} = \mathbf{C}(s\mathbf{I} - \mathbf{A})^{-1} \mathbf{B} + D \quad (2.32)$$

<例2.6> 下图RLC网络，由系统状态转移矩阵推导系统传递函数



$$[s\mathbf{I} - \mathbf{A}] = \begin{bmatrix} s & \frac{1}{C} \\ -\frac{1}{L} & (s + \frac{R}{L}) \end{bmatrix}$$

$$[s\mathbf{I} - \mathbf{A}]^{-1} = \frac{\text{adj}(s\mathbf{I} - \mathbf{A})}{\det(s\mathbf{I} - \mathbf{A})}$$

$$= \frac{1}{s^2 + \frac{R}{L}s + \frac{1}{LC}} \begin{bmatrix} (s + \frac{R}{L}) & -\frac{1}{C} \\ \frac{1}{L} & s \end{bmatrix}$$

$$\begin{bmatrix} \dot{x}_1 \\ \dot{x}_2 \end{bmatrix} = \begin{bmatrix} 0 & -\frac{1}{C} \\ \frac{1}{L} & -\frac{R}{L} \end{bmatrix} \begin{bmatrix} x_1 \\ x_2 \end{bmatrix} + \begin{bmatrix} \frac{1}{C} \\ 0 \end{bmatrix} u$$

$$y = \begin{bmatrix} 0 & R \end{bmatrix} \begin{bmatrix} x_1 \\ x_2 \end{bmatrix}$$

$$G(s) = \mathbf{C}[s\mathbf{I} - \mathbf{A}]^{-1}\mathbf{B}$$

$$= \begin{bmatrix} 0 & R \end{bmatrix} \begin{bmatrix} \frac{(s + \frac{R}{L})}{\Delta(s)} & -\frac{1}{C} \\ \frac{1}{L\Delta(s)} & \frac{s}{\Delta(s)} \end{bmatrix} \begin{bmatrix} \frac{1}{C} \\ 0 \end{bmatrix}$$

$$= \frac{R/LC}{s^2 + \frac{R}{L}s + \frac{1}{LC}}$$

由传递函数转换为状态空间模型



由状态空间模型可以唯一的转换为一个传递函数(阵); 由传递函数转换为状态空间模型, 称为系统的实现问题。由于状态量选择的多样性, 对于一个传递函数(阵), 系统地实现是不唯一的。这里给出一种“能控规范型”的实现形式。

■ 当传递函数的分子为多项式, $m < n$

考虑下面一个 n 阶系统的传递函数:

$$\begin{aligned} G(s) &= \frac{Y(s)}{U(s)} = \frac{b_m s^m + b_{m-1} s^{m-1} + \cdots + b_1 s + b_0}{s^n + a_{n-1} s^{n-1} + \cdots + a_1 s + a_0} \\ &= \frac{1}{s^n + a_{n-1} s^{n-1} + \cdots + a_1 s + a_0} \left[b_m s^m + b_{m-1} s^{m-1} + \cdots + b_1 s + b_0 \right] \end{aligned} \quad (2.37)$$

参考第1步, 令

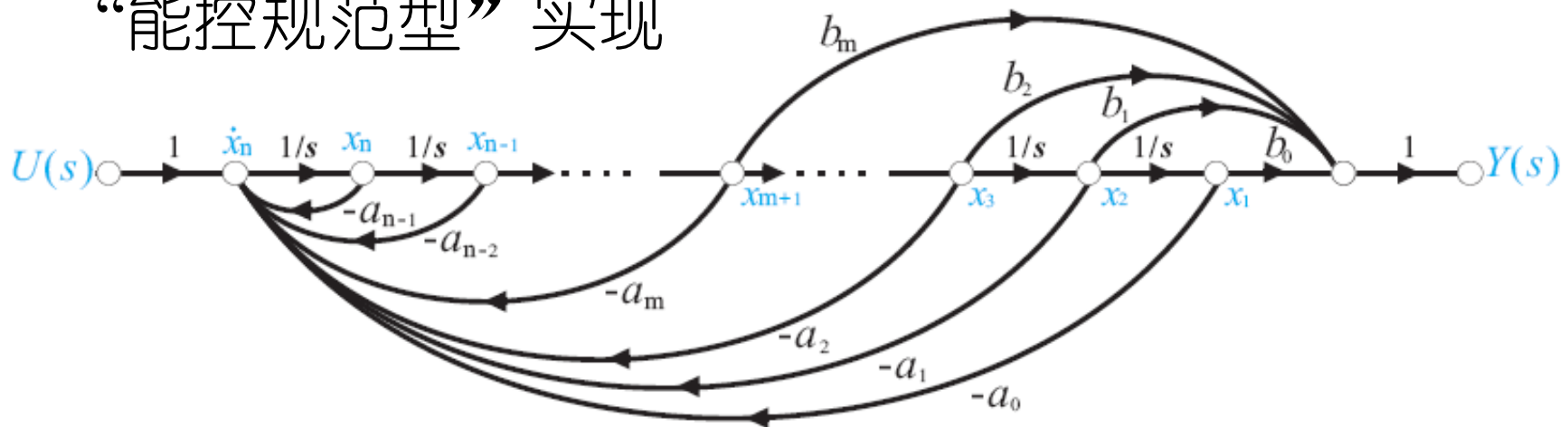
$$\frac{X_1(s)}{U(s)} = \frac{1}{s^n + a_{n-1} s^{n-1} + \cdots + a_1 s + a_0} \quad (2.38)$$

$$Y(s) = X_1(s) \left[b_m s^m + b_{m-1} s^{m-1} + \cdots + b_1 s + b_0 \right] \quad (2.39)$$

运用拉普拉斯反变换得到：

$$\begin{aligned} y(t) &= b_m \frac{d^m x_1}{dt^m} + b_{m-1} \frac{d^{m-1} x_1}{dt^{m-1}} + \cdots + b_1 \frac{dx_1}{dt} + b_0 x_1 \quad (2.40) \\ &= b_0 x_1 + b_1 x_2 + \cdots + b_{m-1} x_m + b_m x_{m+1} \end{aligned}$$

“能控规范型”实现



由图可写出系统状态微分方程为

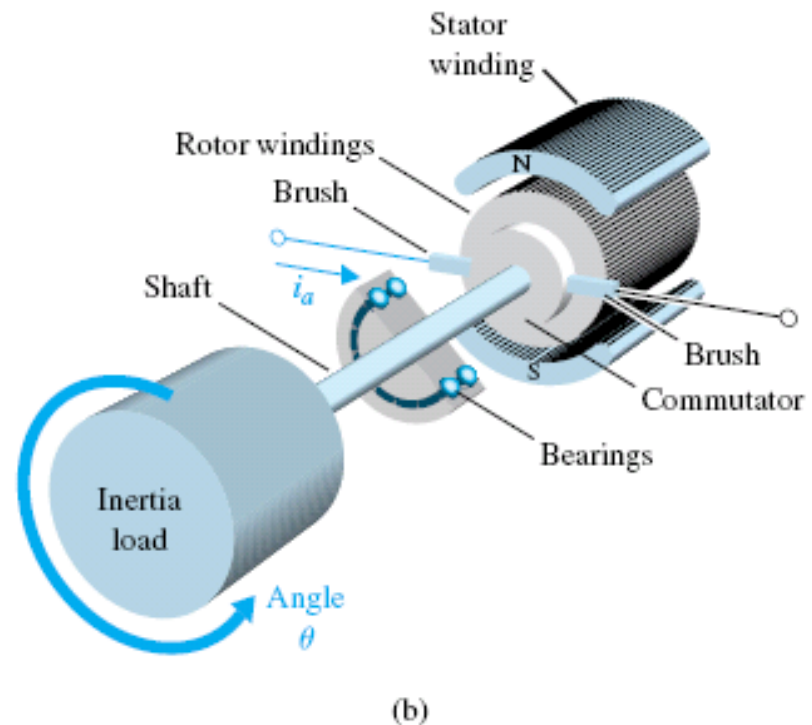
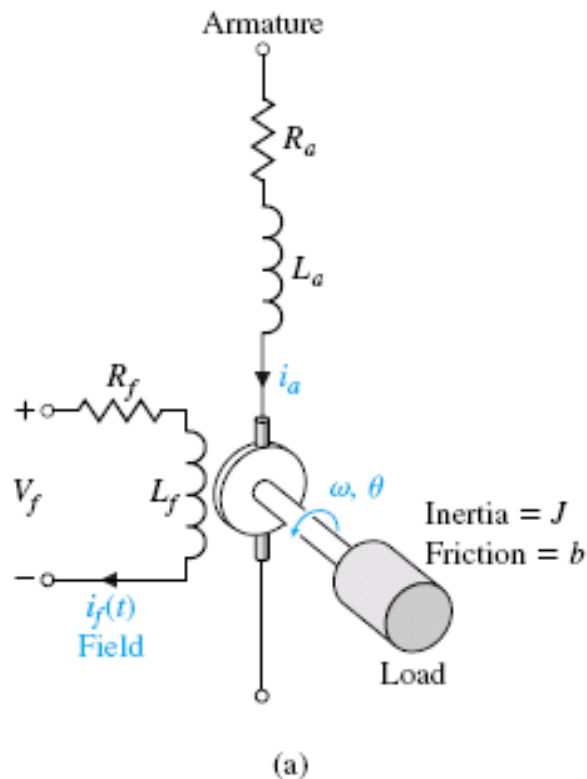
$$\begin{bmatrix} \dot{x}_1 \\ \dot{x}_2 \\ \vdots \\ \dot{x}_{n-1} \\ \dot{x}_n \end{bmatrix} = \begin{bmatrix} 0 & 1 & 0 & \cdots & 0 \\ 0 & 0 & 1 & \cdots & 0 \\ \vdots & \vdots & \vdots & \cdots & \vdots \\ 0 & 0 & 0 & \cdots & 1 \\ -a_0 & -a_1 & -a_2 & \cdots & -a_{n-1} \end{bmatrix} \begin{bmatrix} x_1 \\ x_2 \\ \vdots \\ x_{n-1} \\ x_n \end{bmatrix} + \begin{bmatrix} 0 \\ 0 \\ \vdots \\ 0 \\ 1 \end{bmatrix} u \quad (2.35)$$

系统的输出方程为

$$y = \begin{bmatrix} b_0 & b_1 & \cdots & b_m & 0 & \cdots & 0 \end{bmatrix} \begin{bmatrix} x_1 \\ \vdots \\ x_{m+1} \\ \vdots \\ x_n \end{bmatrix} \quad (2.41)$$

2.7 系统数学模型举例

■ 枢控电动机微分方程



■ 电枢回路方程

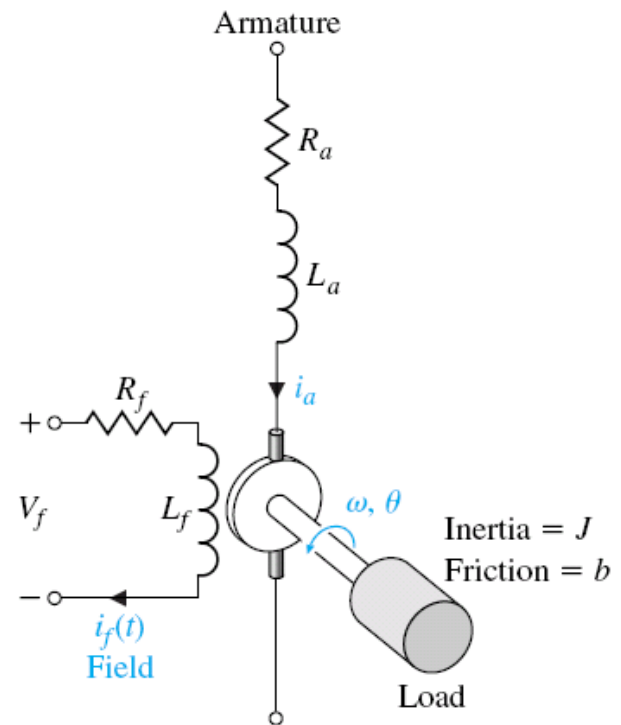
$$L_a \frac{di_a}{dt} + R_a i_a + e_m = u_a$$

L_a 电枢回路电感(H)

R_a 电枢回路电阻(Ω)

$e_m = C'_e \Phi \omega = C_e \omega$ 电动机反电势

C_e 为电动机反电势系数 V/(rad/s)



■ 电动机运动方程

$$J \frac{d\omega}{dt} + f\omega + M_L = M \quad (2.46)$$

J 和 f 分别为折算到电动机轴上的转动惯量($kg \cdot m^2$)
和粘性摩擦系数($N \cdot m \cdot s / rad$)

M_L 为折算置电动机轴上的负载转矩($N \cdot m$)

$M = C_m i_a$ 为电动机电磁转矩($N \cdot m$)

C_m 为电动机转矩系数($N \cdot m / A$)

(2.45)和(2.46)式可以写成

$$\frac{di_a}{dt} = -\frac{R_a}{L_a} i_a - \frac{C_e}{L_a} \omega + \frac{1}{L_a} u_a \quad (2.47)$$

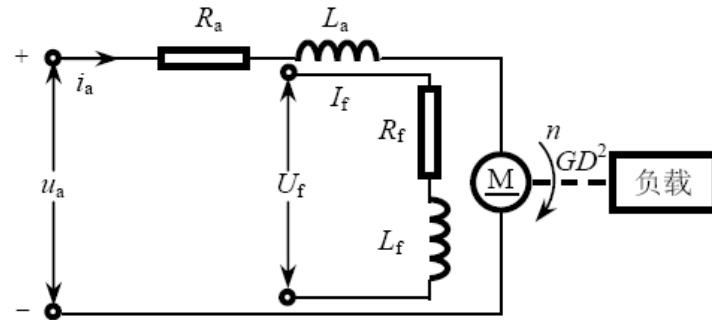
$$\frac{d\omega}{dt} = \frac{C_m}{J} i_a - \frac{f}{J} \omega - \frac{1}{J} M_L \quad (2.48)$$

令 $x_1 = i_a; x_2 = \omega$, 可得到系统状态微分方程

$$\begin{bmatrix} \dot{x}_1 \\ \dot{x}_2 \end{bmatrix} = \begin{bmatrix} -R_a/L_a & -C_e/L_a \\ C_m/J & -f/J \end{bmatrix} \begin{bmatrix} x_1 \\ x_2 \end{bmatrix} + \begin{bmatrix} 1/L_a & 0 \\ 0 & -1/J \end{bmatrix} \begin{bmatrix} u_a \\ M_L \end{bmatrix} \quad (2.49)$$

■ 直流枢控电动机转速反馈控制系统

□ 电枢回路环节



$$L_a \frac{di_a}{dt} + R_a i_a + K_e n = u_a \quad (2.49)$$

其中 n 为转速(r/min), K_e 为反电势系数

令 $T_a = L_a / R_a$ (电枢回路时间常数)

传递函数

$$\frac{I_a(s)}{U_a(s) - K_e N(s)} = \frac{1/R_a}{1 + T_a s} \quad (2.50)$$

■ 直流枢控电动机转速反馈控制系统

□ 转动环节:电动机功率较大时其粘性摩擦系数可以忽略不计, 则运动方程为:

$$J_G \frac{dn}{dt} + M_L = M \quad (2.51)$$

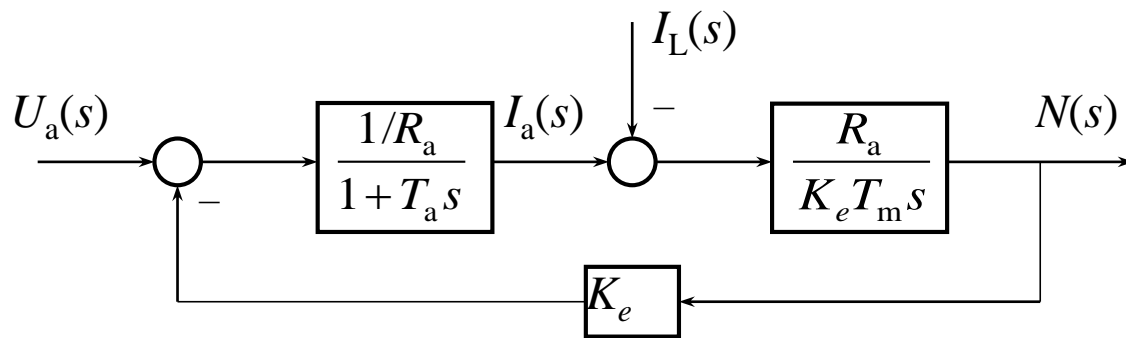
$$\text{其中 } J_G = \frac{GD^2}{375}, M = K_m i_a, M_L = K_m i_L$$

$$\text{令 } T_m = \frac{GD^2}{375} \frac{R_a}{K_e K_m} \quad (\text{机电时间常数})$$

传递函数

$$\frac{N(s)}{I_a(s) - I_L(s)} = \frac{K_m}{J_G} = \frac{R_a}{K_e T_m s} \quad (2.52)$$

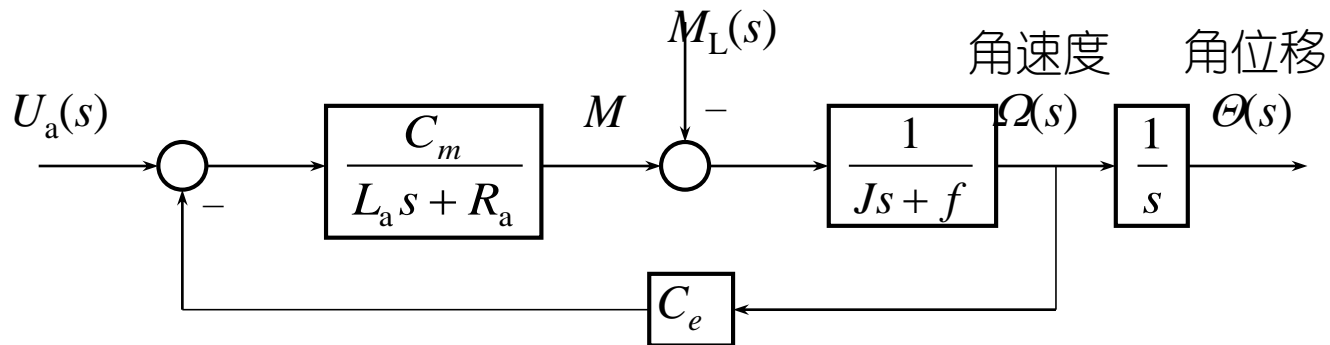
■ 枢控电动机结构图(以转速为输出量)



枢控电动机结构图

- 以角速度或角位移作为输出量(小功率伺服系统),由于电动机功率较小,要考虑粘性摩擦,由(2.46)式,转动环节的输入输出方程为:

$$(Js + f)\Omega(s) = M(s) - M_L(s) \quad (2.53)$$



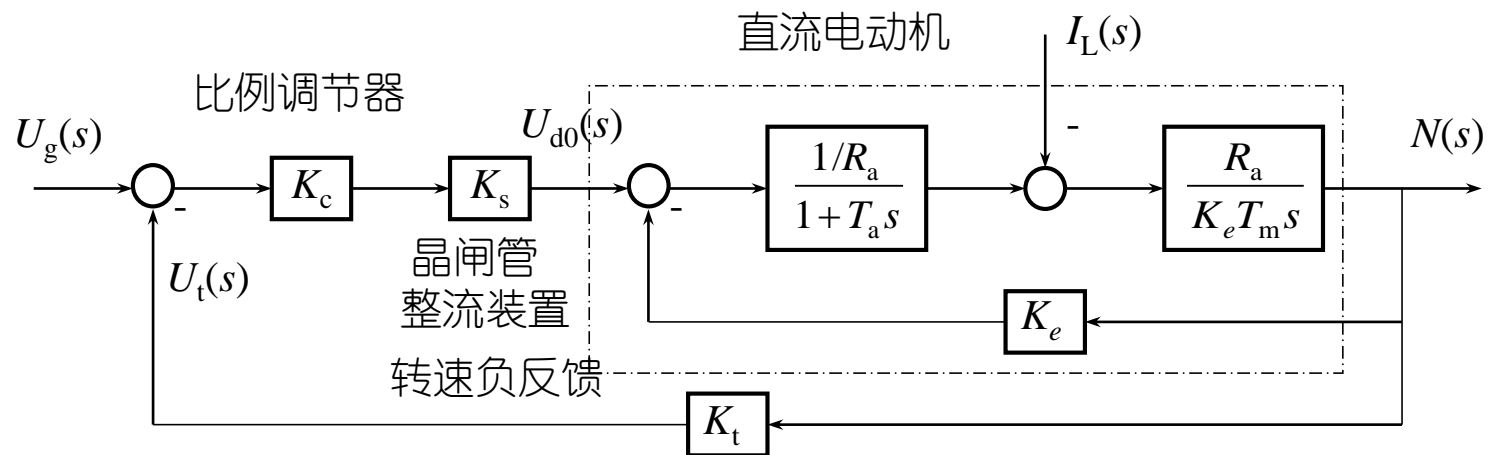
枢控电动机框图模型

■ 枢控电动机直流调速系统结构框图

□ 以测速发电机作为转速负反馈环节，有

$$u_t = K_t n$$

□ 采用比例调节器时，系统的结构框图





小结

- 本章讨论了控制系统常用的几种**数学模型**形式，并简要介绍了**输入输出数学模型**与**状态空间模型**之间的关系，在控制系统的分析与设计中，建立系统数学模型的工作十分重要，需要根据相关物理系统的数学模型，并运用相应的数学方法；
- 本章要求重点掌握**传递函数**、**系统结构框图**等数学模型；



阅读

- Dorf, Bishop. 现代控制系统. 第二章：系统的数学模型